

FELIPE DE LIMA MESQUITA  
JHOSER ALLAF DOS SANTOS MATHEUS

ALGORITMO FPT PARA ALIANÇAS DEFENSIVAS EM GRAFOS

*(versão pré-defesa, compilada em 13 de dezembro de 2024)*

Trabalho apresentado como requisito parcial à conclusão do Curso de Bacharelado em Ciência da Computação, Setor de Ciências Exatas, da Universidade Federal do Paraná.

Área de concentração: *Computação*.

Orientador: André Luiz Pires Guedes.

CURITIBA PR

2024

## RESUMO

Este trabalho explora o problema de encontrar alianças defensivas em grafos, um tema relevante na teoria dos grafos com aplicações em diversas áreas, desde análise de mercado, redes sociais e biologia. Definimos uma aliança defensiva como um subconjunto de vértices onde cada vértice possui pelo menos tantos vizinhos dentro do conjunto quanto fora dele, de forma a ter sempre mais "aliados" do que "inimigos". O texto se concentra na formulação do problema, na análise da complexidade computacional e na implementação de um algoritmo eficiente para a identificação dessas alianças.

Apresentamos um algoritmo FPT semelhante a uma busca em profundidade, que explora sistematicamente os vértices do grafo para encontrar alianças defensivas de tamanho específico, juntamente com duas novas melhorias que apresentam melhora significativa no desempenho, e um visualizador web desenvolvido que permite a visualização passo a passo do processo de busca.

Palavras-chave: Algoritmo FPT. Alianças Defensivas. Grafos

## SUMÁRIO

<b>1</b>	<b>INTRODUÇÃO . . . . .</b>	<b>4</b>
<b>2</b>	<b>FUNDAMENTAÇÃO TEÓRICA. . . . .</b>	<b>5</b>
2.1	CONCEITOS . . . . .	5
2.1.1	Grafo . . . . .	5
2.1.2	Vértice. . . . .	5
2.1.3	Aresta . . . . .	5
2.1.4	Incidência . . . . .	5
2.1.5	Adjacência . . . . .	5
2.1.6	Vizinhança de um Vértice. . . . .	5
2.1.7	Grau de um Vértice . . . . .	6
2.1.8	Subgrafo. . . . .	6
2.1.9	Conectividade. . . . .	6
2.1.10	Aliança Defensiva. . . . .	6
2.2	COMPLEXIDADE COMPUTACIONAL . . . . .	6
2.2.1	Classes de Complexidade: . . . . .	7
2.3	O ALGORITMO . . . . .	8
2.3.1	Complexidade. . . . .	8
2.3.2	Explicação. . . . .	8
2.3.3	Lema 14. . . . .	10
2.3.4	Evitando repetir conjuntos . . . . .	11
2.3.5	Priorização dos vértices expostos. . . . .	12
<b>3</b>	<b>METODOLOGIA . . . . .</b>	<b>13</b>
3.1	ALGORITMO EM PYTHON . . . . .	13
3.2	VISUALIZADOR WEB . . . . .	13
3.2.1	Visualização por passos. . . . .	14
3.2.2	Mapa de calor . . . . .	14
<b>4</b>	<b>RESULTADOS E DISCUSSÃO . . . . .</b>	<b>17</b>
<b>5</b>	<b>CONCLUSÃO . . . . .</b>	<b>19</b>
	<b>REFERÊNCIAS . . . . .</b>	<b>20</b>

## 1 INTRODUÇÃO

O estudo das alianças em grafos é um campo fascinante que combina conceitos de teoria dos grafos e complexidade computacional. As alianças, especialmente as alianças defensivas, são subconjuntos de vértices que garantem uma forma de defesa mútua entre seus membros; conceito este que pode ser aplicado desde alianças para suporte mútuo entre nações em guerra (Kristiansen et al., 2004) até análise da estrutura secundária do RNA (Haynes et al., 2006).

Neste estudo, abordamos o problema de encontrar alianças defensivas em grafos, que pode ser formalizado como a identificação de subconjuntos de vértices que satisfazem condições específicas de conectividade e vizinhança. Um grafo  $G = (V, E)$  é composto por um conjunto de vértices  $V$  e um conjunto de arestas  $E$ . Uma aliança defensiva é definida como um subconjunto  $S \subseteq V$  tal que, para cada vértice  $v \in S$ , o número de vizinhos de  $v$  dentro de  $S$  é pelo menos igual ao número de vizinhos de  $v$  fora de  $S$ . Essa propriedade assegura que cada vértice na aliança possui mais aliados do que potenciais inimigos, promovendo assim a segurança do grupo.

A complexidade computacional associada à identificação de alianças defensivas é desanimadora, e fazemos dela o ponto central deste estudo. Através da perspectiva atenuante do algoritmo FPT proposto por (Enciso, 2009), buscamos entender a eficiência e a viabilidade de encontrar tais alianças em grafos de diferentes tamanhos e estruturas.

Além disso, apresentamos um visualizador web que ilustra o funcionamento do algoritmo, permitindo uma compreensão mais intuitiva dos passos envolvidos na busca por alianças defensivas, propomos duas melhorias para a eficiência do algoritmo e disponibilizamos em um repositório o algoritmo final e otimizado em *Python*. A seguir, detalharemos a fundamentação teórica necessária para a compreensão do tema, além de descrever a metodologia utilizada e os resultados obtidos.

## 2 FUNDAMENTAÇÃO TEÓRICA

A fim de seguir de forma devida com a análise do problema e do algoritmo, algumas definições teóricas são requeridas:

### 2.1 CONCEITOS

#### 2.1.1 Grafo

Um grafo  $G = (V(G), E(G))$  é um par ordenado que consiste de um conjunto de vértices  $V(G)$  e um conjunto de arestas  $E(G)$ .

#### 2.1.2 Vértice

Um vértice  $v \in V(G)$  é um elemento básico de um grafo, representando um ponto ou nó na estrutura. O conjunto  $V(G)$  é finito e contém todos os vértices do grafo.

#### 2.1.3 Aresta

Uma aresta  $e \in E(G)$  é um conjunto de dois vértices de  $V(G)$ . Em um grafo não direcionado, a aresta  $\{u, v\}$  conecta os vértices  $u$  e  $v$ , sem direção. Em grafos direcionados, uma aresta  $(u, v)$  conecta  $u$  a  $v$  com uma orientação de  $u$  para  $v$ .

#### 2.1.4 Incidência

As extremidades de uma aresta são ditas incidentes com a aresta (Bondy e Murty, 2008), e vice-versa, ou seja, uma aresta  $e$  é dita incidente a um vértice  $v$  se esta aresta se conecta a  $v$  em um de seus extremos.

#### 2.1.5 Adjacência

Dois vértices que são incidentes a uma mesma aresta são adjacentes (Bondy e Murty, 2008), assim como duas arestas que são incidentes a um mesmo vértice, ou seja, um par de vértices distintos  $u$  e  $v$  são adjacentes se possuem uma aresta que os conectam, da mesma forma que duas arestas distintas  $e_1$  e  $e_2$  são adjacentes se são incidentes a um vértice em comum.

#### 2.1.6 Vizinhança de um Vértice

Dois vértices que são incidentes a uma aresta comum, ou seja, dois vértices adjacentes distintos são ditos vizinhos (Bondy e Murty, 2008). A vizinhança de um vértice  $v \in V(G)$ , denotada por  $N(v)$ , é o conjunto de todos os vértices adjacentes a  $v$ , ou seja,  $N(v) = \{u \in V(G) \mid \{u, v\} \in E(G)\}$  em grafos não direcionados.

### 2.1.7 Grau de um Vértice

O grau de um vértice  $v$  em um grafo não direcionado  $G$  é dado por  $d(v) = |N(v)|$ , ou seja, o número de arestas incidentes a  $v$ . Neste estudo consideramos apenas grafos não direcionados, portanto o grau de  $v$  corresponde ao número de arestas total ligadas a ele.

### 2.1.8 Subgrafo

Um **subgrafo** de um grafo  $G$  é um grafo  $F$  cujos conjuntos de vértices e arestas são subconjuntos dos vértices e arestas de  $G$ . Formalmente,  $F$  é um subgrafo de  $G$  se  $V(F) \subseteq V(G)$  e  $E(F) \subseteq E(G)$ , e a função que relaciona vértices e arestas em  $F$  é a mesma que em  $G$ , mas restrita ao conjunto de arestas de  $F$ . Subgrafos podem ser formados a partir das operações de remoção de vértices e remoção de arestas.

Diz-se que  $G$  contém  $F$  ou que  $F$  está contido em  $G$ , representado como  $G \supseteq F$  ou  $F \subseteq G$ .

### 2.1.9 Conectividade

Um grafo é **conexo** se, para toda partição de seu conjunto de vértices em dois conjuntos não vazios  $X$  e  $Y$ , existe uma aresta com uma extremidade em  $X$  e a outra extremidade em  $Y$ , caso contrário, o grafo é desconexo. Em outras palavras, um grafo é desconexo se seu conjunto de vértices pode ser particionado em dois subconjuntos não vazios  $X$  e  $Y$  de modo que nenhuma aresta tenha uma extremidade em  $X$  e outra em  $Y$ .

### 2.1.10 Aliança Defensiva

Um subconjunto  $S \subseteq V$  é uma aliança defensiva se, para cada vértice  $v \in S$ , a condição a seguir é satisfeita:  $|N(v) \cap S| \geq |N(v) \setminus S|$ .

Ou seja, para cada vértice  $v$  na aliança  $S$ , o número de vértices adjacentes a  $v$  dentro de  $S$  deve ser pelo menos igual ao número de vértices adjacentes a  $v$  fora de  $S$ .

Isso indica que os vértices  $v$  na aliança devem possuir pelo menos tantos vértices dentro da aliança quanto fora dela.

Embora, formalmente, uma aliança não precise ser conexa, note que cada componente conexa de uma aliança é uma aliança por si só. Para fins deste trabalho, toda aliança encontrada deve ser **conexa**.

## 2.2 COMPLEXIDADE COMPUTACIONAL

A complexidade computacional estuda a quantidade de recursos necessários para a execução de algoritmos, especialmente em termos de tempo e espaço. Em ciência da computação, a complexidade computacional é frequentemente representada usando a notação *Big O*,  $O(f(n))$ , que descreve o crescimento da complexidade como uma função  $f(n)$ , onde  $n$  normalmente é o

tamanho da entrada, ou algum outro parâmetro relevante. Alguns exemplos de classificação de complexidade são:

- $O(1)$ : Constante, o tempo de execução não depende do tamanho da entrada.
- $O(n)$ : Linear, o tempo de execução cresce proporcionalmente ao tamanho da entrada.
- $O(n^k)$ : Polinomial, o tempo de execução cresce proporcionalmente com relação a potência  $k$  constante do tamanho da entrada. Um exemplo de polinômio muito comum são os quadrados  $O(n^2)$ .
- $O(k^n)$ : Exponencial, o tempo de execução cresce de forma exponencial com relação ao tamanho da entrada. No geral, é inviável para grandes entradas.
- $O(n!)$ : Fatorial, em problemas fatoriais o tempo de execução cresce ainda mais acelerado com relação ao tamanho da entrada do que problemas exponenciais.

### 2.2.1 Classes de Complexidade:

Os problemas de decisão, como os envolvendo alianças, podem ser classificados em certas classes de complexidade que separam o quão viáveis é encontrar ou verificar suas soluções para entradas de larga escala. Estas classes não:

- $P$  (Polinomial): Representa a classe de problemas que podem ser resolvidos em tempo polinomial, ou seja, em  $O(n^k)$  para algum inteiro  $k$ . Em ciência da computação, problemas em  $P$  são considerados tratáveis.
- $NP$  (Tempo polinomial não determinístico): Representa a classe de problemas para os quais, apesar de não sabermos como encontrar solução em tempo polinomial de maneira determinística, dada uma solução, ela pode ser verificada em tempo polinomial por um algoritmo determinístico. Não sabemos se todo problema em  $NP$  pode ser resolvido em tempo polinomial, isto é, se  $P = NP$ , e esse é um dos 7 problemas do milênio que ainda estão em aberto.
- $NP$ -completo: Representa um subconjunto de problemas em  $NP$  que são, intuitivamente, tão difíceis quanto qualquer outro problema em  $NP$ . Para um problema ser dessa classe, são necessárias duas características:
  1. Estar em  $NP$ , ou seja, dada uma solução, ela deve ser verificável em tempo polinomial.
  2. Ser  $NP$ -difícil, todo problema em  $NP$  pode ser redutível a ele em tempo polinomial. Em outras palavras, caso um problema de classe  $NP$ -completo seja resolvido em tempo polinomial, todos os outros problemas em  $NP$  poderão ser resolvidos em tempo polinomial.

## 2.3 O ALGORITMO

Como encontrar uma aliança defensiva em um grafo é um problema NP-completo, o algoritmo FPT (Enciso, 2009) tem como objetivo buscar por uma aliança conexa arbitrária de tamanho máximo  $k$ , a fim de tornar o problema tratável. Porém, neste trabalho o tamanho da aliança buscada será *exatamente*  $k$ , pois acreditamos que o tamanho da aliança seja importante. Antes de entrar na explicação minuciosa do algoritmo, é importante explicar o que é um algoritmo FPT.

### 2.3.1 Complexidade

FPT (*Fixed-Parameter Tractable*) é uma classe de complexidade que trata de problemas parametrizáveis (como os de complexidade exponencial) ao isolar e fixar um parâmetro específico do problema, chamado  $k$ , e então expressando a complexidade na forma  $f(k) * p(n)$ . Desta forma,  $f(k)$  é a parte da complexidade que depende exclusivamente de  $k$  e pode ser *superpolinomial*, enquanto  $p(n)$  é uma função polinomial de  $n$ . Sendo assim, fixar  $k$  em valores pequenos nos permite abordar o algoritmo de forma mais tratável, custando muito menos tempo, a depender do tamanho de  $k$ .

O algoritmo usado neste estudo foi proposto por (Enciso, 2009), e tem complexidade  $O(k^k n)$ , e é uma melhora significativa de seu predecessor, que tinha complexidade  $O((2k - 1)^k k^2 n)$ . Esse é um avanço substancial, mas ainda é interessante demonstrar como problemas, mesmo parametrizados, crescem rapidamente:

$k$	$k^k$
2	4
3	27
4	256
5	3.125
6	46.656
7	823.543
9	387.420.489
10	10.000.000.000

O propósito do algoritmo então é garantir que o tempo possa ser diminuído de acordo com  $k$ , sem que seja necessário executar para todo  $n - k$  restante.

### 2.3.2 Explicação

O algoritmo é dividido em duas funções principais, `a main` e `a defensiveAlliance`. `A main` recebe como entrada um Grafo  $G$  e o tamanho da aliança desejada, um inteiro positivo  $k$ . De forma intuitiva, a abordagem do algoritmo é partir de um vértice do grafo por vez e olhar





Figura 2.1: Gráfico da função  $k^k$

sua vizinhança numa tentativa de expandi-lo até formar uma aliança defensiva de tamanho  $k$ , ou todos os vértices terem servido de raiz da expansão.

```

1 Main(G,k)
2   Para cada vértice v de G:
3     v.c_w <- ⌈ $\frac{d(v)}{2}$ ⌉.
4   Para cada vértice v de G:
5     inicia uma aliança S <- {v}.
6     aliança_encontrada <- DefensiveAlliance(S).
7     Se aliança_encontrada:
8       retorne aliança_encontrada.
9     retira v de S
10    soma 1 ao c_w de v.
11
12   retorne "Sem aliança";

```

O papel da função `main` é garantir que todos os vértices foram usados como raiz da expansão. Para isso, primeiro é definido o `c_w`, que serve para verificar se o vértice está protegido dentro da aliança  $S$ . De início, ela é definida com o número de vizinhos necessários dentro de  $S$  para que ele esteja defendido, e então será aumentada ou diminuída conforme se adiciona ou remove seus vizinhos a  $S$ .

Isso também faz parte da condição de sucesso da busca, ou seja, quando todos os vértices de  $S$  estiverem protegidos ( $c_w \leq 0$ ) então uma aliança defensiva foi formada.

A seguir, a main chama a função `defensiveAlliance` para verificar se  $S$  é, ou pode ser expandida até, uma aliança defensiva de tamanho  $k$ .

```

1 DefensiveAlliance(G, S, k)
2   inicia v <- vértice de maior c_w em S.
3   Se v.c_w <= 0 e tamanho de S == k:
4       devolve S.
5
6   Se v.c_w <= k - tamanho de S:
7       inicia t <- 1 + metade dos vizinhos de w.
8       inicia o conjunto W <- t vizinhos de w que não pertencem a S.
9       Para cada vértice w em W:
10          S <- S + w.
11          Para cada vizinho x de w em S:
12              subtrai 1 do c_w de x e de w.
13          aliança_encontrada <- DefensiveAlliance(G, S, k)
14          Se aliança_encontrada:
15              Devolve aliança_encontrada.
16          Para cada vizinho x de w em S:
17              soma 1 ao c_w de x e de w.
18          Retira w de S.
19
20   Retorne NULL;
```

No início de `defensiveAlliance` o algoritmo escolhe o vértice de maior  $c_w$  em  $S$ , que seria o vértice mais vulnerável da aliança. Esse vértice serve para tanto verificar se  $S$  se tornou uma aliança quanto como ponto de expansão a fim de incluir novos vértices.

A seguir, o algoritmo verifica se há espaço em  $S$  para os  $c_w$  vizinhos necessários serem adicionados, ou seja, para que  $w$  seja defendido dentro da restrição do tamanho máximo  $k$ . Essa verificação funciona de modo semelhante a uma heurística de busca, poupando tempo ao evitar vértices que não podem ser defendidos posteriormente.

### 2.3.3 Lema 14

Uma parte importante do funcionamento do algoritmo é o lema 14 de (Enciso, 2009). Assuma que  $S \subseteq V$  é estendível para uma aliança defensiva  $S'$ , onde  $|S| < |S'| = k$  então, para qualquer vértice desprotegido  $w \in S$ ,  $|S' \cap (N[w] - S)| \geq c_w$ .

Em outras palavras se  $S$  é estendível e  $w$  é um vértice desprotegido de  $S$  então  $c_w$  é o número de vizinhos de  $w$  fora de  $S$  que é necessário para proteger  $w$  em  $S$ .

Esse lema é o que podemos considerar como o núcleo do algoritmo, pois ele nos garante também que para qualquer subconjunto  $W \subseteq N[w] - S$  com  $t = \lfloor \frac{d_w}{2} \rfloor + 1$  vértices contém ao menos um vértice  $w_i$  para o qual  $S \cup w_i$  é estendível se e somente se  $S$  é estendível.

### 2.3.4 Evitando repetir conjuntos

Observando o comportamento do algoritmo no visualizador web foi possível notar que um comportamento pouco eficiente: o critério de expansão de  $S$  (destacado a seguir) abre margem pra repetir várias vezes a mesma combinação de vértices, levando, principalmente em grafos de grande quantidade de vértices, a muito esforço improdutivo.

```

1 DefensiveAlliance(G, S, k)
2   inicia v <- vértice de maior c_w em S.
```

Pensando nisso a equipe elaborou uma solução que armazena todas as combinações já analisadas anteriormente e impede de que novas iterações com elas sejam geradas, cortando toda a sub-árvore subsequente. Isso é feito com a criação de um dicionário e a marcação única de cada combinação:

```

1 inicia combinacoes <- dicionário vazio
```

```

1 DefensiveAlliance(G, S, k)
2 [...]
3   Para cada vértice w em W:
4       S <- S + w.
5
6       comb_id <- identificadores de S de forma ordenada.
7       Se existe combinacoes[comb_id]:
8           Retira w de S.
9           pula para o próximo vértice.
10      Caso contrário:
11          cria combinacoes[comb_id].
12
13      Para cada vizinho x de w em S:
14          subtrai 1 do c_w de x e de w.
15      aliança_encontrada <- DefensiveAlliance(G, S, k)
16 [...]
```

Caso não exista uma entrada da combinação no dicionário, cria-se uma e a instância corrente de  $S$  é analisada. Caso contrário, a instância é ignorada, podendo todas as sub-árvores subsequentes. A complexidade de tempo é se resume a ordenação de, no máximo,  $k - 1$  elementos, e ao acesso e escrita no dicionário. Ambos são ofuscados pela complexidade geral.

Por outro lado, há um custo sério em termos de espaço. No pior caso, de não haver aliança e o algoritmo analisar todos os vértices e  $k = n$ , a combinação ocupa espaço  $O(2^n)$ , que corresponde a guardar todas as combinações de  $n$  vértices, variando de tamanho 1 até  $n$ . Isso pode ser mitigado ao limitar o tamanho das combinações armazenadas para a região crítica que vai ser repetida mais vezes. A análise desta região está na seção sobre Resultados e discussão.

Quanto ao desempenho, esta técnica permite ao algoritmo poupar muito tempo ao "amortizar" o custo  $k^k$  ao longo de várias iterações, pois, como nenhuma combinação é repetida,

quanto mais exploradas são as combinações dos vértices, menos combinações existem para serem analisadas.

### 2.3.5 Priorização dos vértices expostos

```

1 DefensiveAlliance(G, S, k)
2   inicia v <- vértice de maior  $c_w$  em S.
```

Ao iniciarmos  $DefensiveAlliance(G, S, k)$  atribuindo  $v$  o vértice em  $W$  com maior  $c_w$  nós garantimos que a maior prioridade em cada chamada recursiva da função é proteger o vértice mais "exposto".

Assim obtemos também um critério de parada consistente, ou seja, quando o vértice com maior  $c_w$  ter  $c_w \leq 0$  e  $|S| = k$ , teremos duas informações fundamentais sobre o contexto da execução:

- 1 - Se  $c_w \leq 0$ , então todos os vértices em  $S$  estão protegidos.
- 2 - Se  $|S| = k$ , encontramos a aliança defensiva procurada.

### 3 METODOLOGIA

O projeto é composto por duas partes principais: algoritmos de busca implementados em Python e um visualizador web criado para exibir os passos deste algoritmo. As partes funcionam de forma independente, sendo conectadas apenas pelo formato de entrada e saída dos programas.

#### 3.1 ALGORITMO EM PYTHON

A implementação do algoritmo proposto por (Enciso, 2009) foi feita em Python e consta completa no Apêndice 1.

Nesta implementação foi utilizada a estrutura de dados da biblioteca *Networkx* para manipulação dos grafos, e, no mais, estruturada de forma semelhante ao algoritmo teórico, com a exceção do uso de uma estrutura de pilha para substituir a chamada recursiva.

Além do resultado final, o programa possibilita o retorno da aliança em formato JSON, com as características utilizadas no visualizador web. Essas características permitem a visualização passo a passo dos nós expandidos pelo algoritmo, e consistem do conjunto  $W$  a cada iteração da função *DefensiveAlliance*.

Há também *flags* para mostrar a quantidade de nós expandidos, para gerar um grafo aleatório segundo uma densidade especificada, e para alterar o comportamento da busca, como retornar a primeira aliança encontrada independente do tamanho.

#### 3.2 VISUALIZADOR WEB

O projeto web foi desenvolvido com Typescript e React, e sua proposta é fornecer uma visualização passo-a-passo do algoritmo e do grafo de entrada. Assim como o algoritmo de busca, o visualizador pode ser encontrado no repositório que se encontra nas referências.

Para montar a visualização é necessário que seja fornecido como entrada um grafo disposto em formato JSON, contando com dois conjuntos extras de dados que são a aliança encontrada, caso exista, e um vetor de *steps*, que contém o conjunto  $W$  no dado *passo* da iteração.

Munido destas informações, o visualizador organiza os dados internamente para melhorar o desempenho e a decisão de cada característica visual do grafo e então personaliza uma *view* HTML, dada pela biblioteca *3d-force-graph* (Hassan-Shafique, 2004), que cuida da renderização e simulação física do grafo.

Dentre as funcionalidades, vale destacar duas principais: a visualização do conjunto  $S$  a cada etapa do algoritmo e o mapa de calor dos nós explorados. O mapa de calor é a coloração dos vértices do grafo seguindo a regra de que, quanto mais visitado um vértice durante a execução do

algoritmo, mais quente é a cor usada; os nós mais quentes tem cores próximas do vermelho, e os mais frios, mais próximas do azul.

### 3.2.1 Visualização por passos

Ao carregar um grafo com o conjunto de passos, é possível navegar por cada um deles. Em um certo passo, os vértices e arestas da fronteira de  $S$  são desenhados com uma cor cinza escura, os além da fronteira tem cor cinza claro, e os vértices dentro de  $S$  ficam coloridos com a cor

- azul, se estiverem desprotegidos;
- ou verde, se estiverem devidamente protegidos.

Ao finalizar o algoritmo e desenhar a aliança, ela é colorida de verde escuro.

As figuras a seguir são de uma busca por uma aliança de tamanho  $k = 15$  em um grafo de  $v = 50$  vértices e  $e = 40$  arestas. O algoritmo começa com  $S$  contendo o vértice colorido de azul.

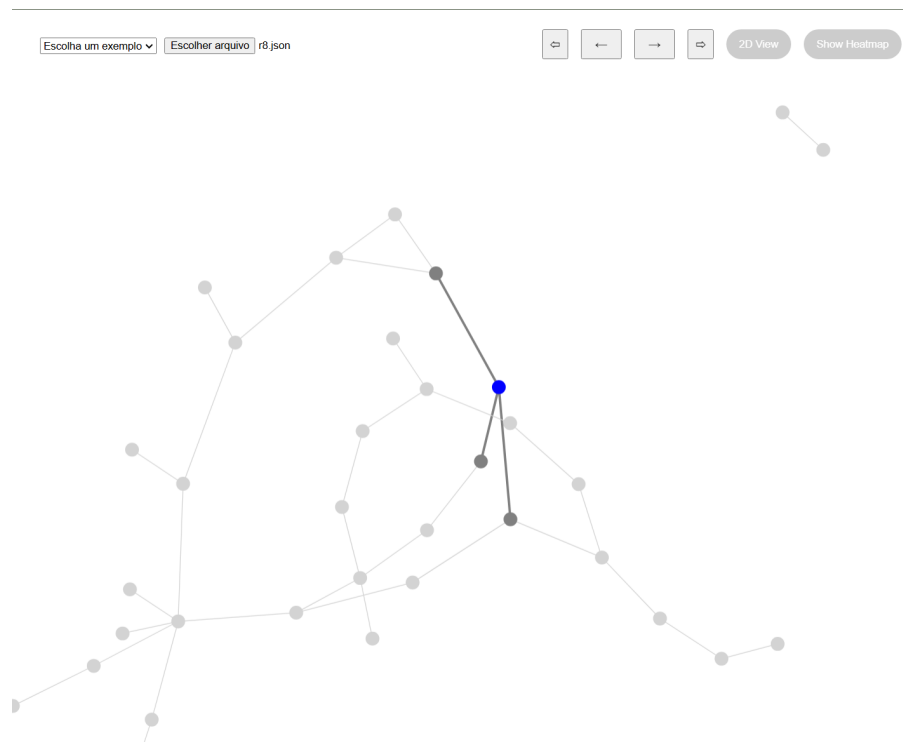


Figura 3.1: Passo 1 do algoritmo

### 3.2.2 Mapa de calor

É possível também ativar a visualização do mapa de calor, que colore os vértices de acordo com a quantidade de vezes que ele foi explorado pelo algoritmo.

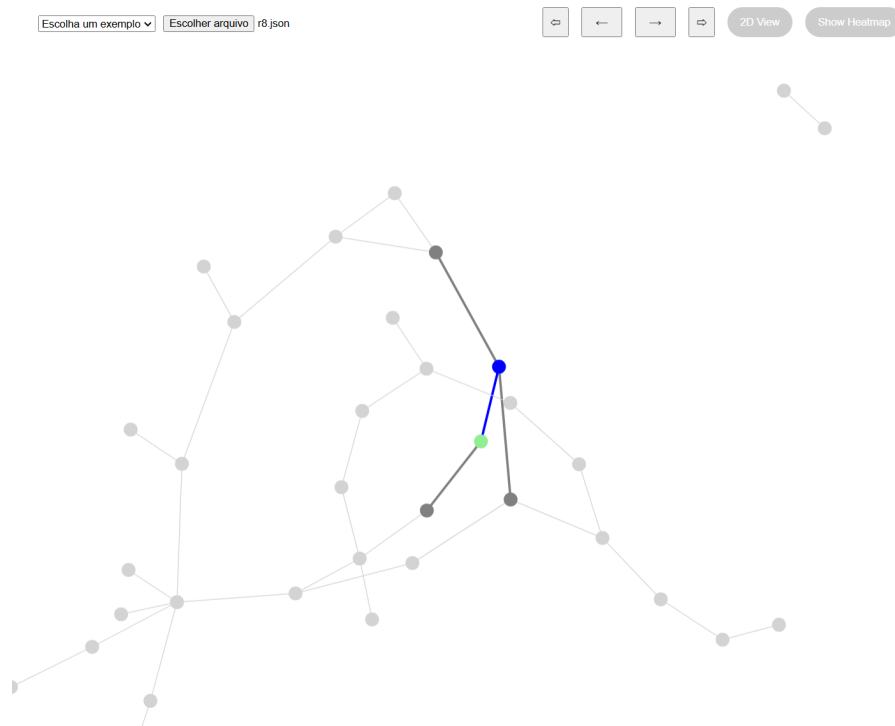


Figura 3.2: Passo 2 do algoritmo

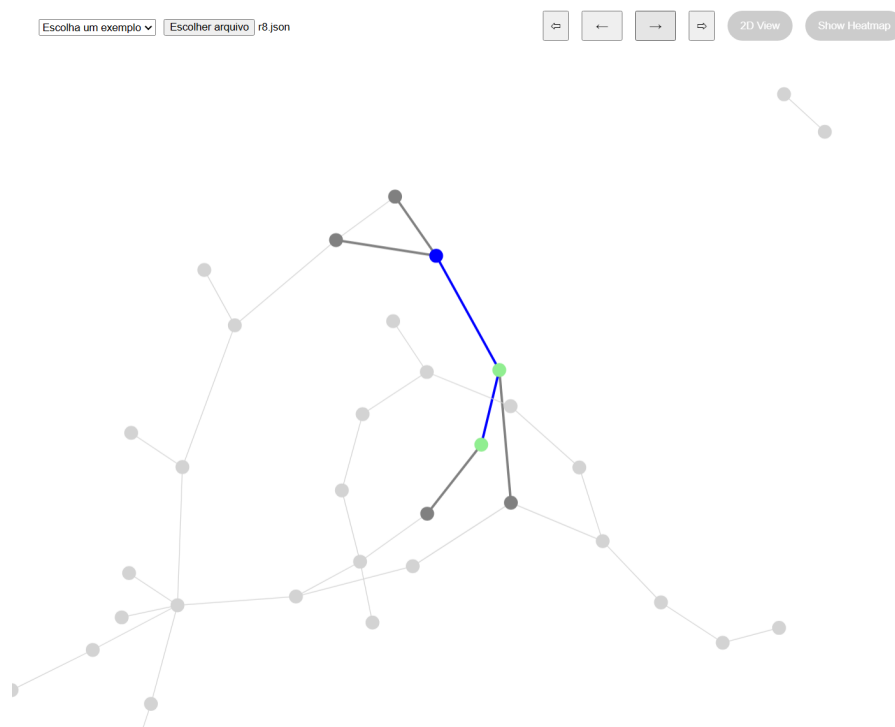


Figura 3.3: Passo 3 do algoritmo

Para ajudar na visualização, as cores mais frias também tem opacidade mais baixa.

Essa ferramenta em particular incentivou questionamentos interessantes a respeito da eficiência do algoritmo, como "como evitar a alta taxa de repetição de um grupo de vértices".

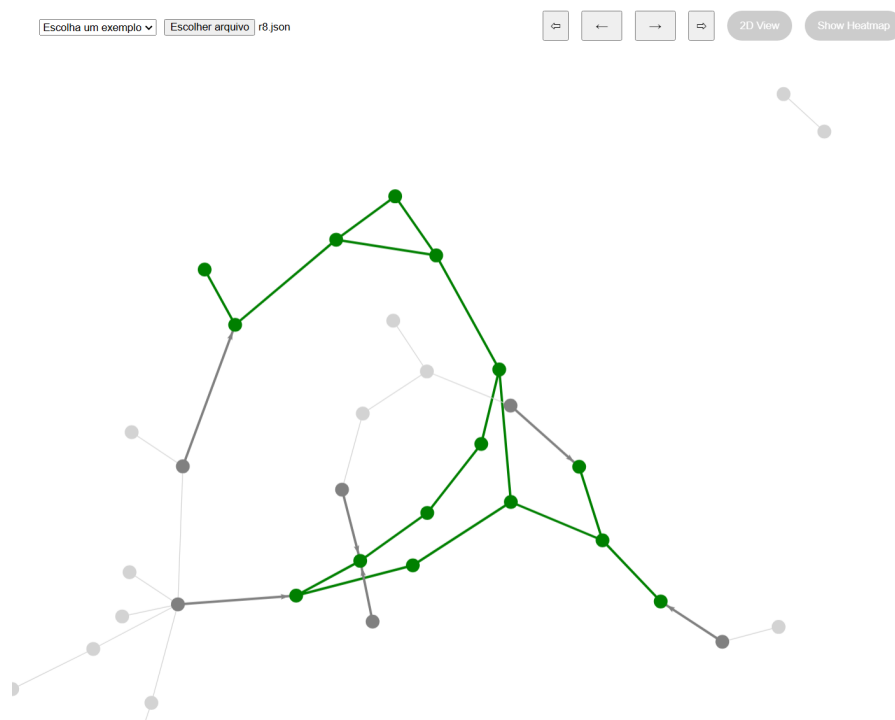


Figura 3.4: Passo final do algoritmo

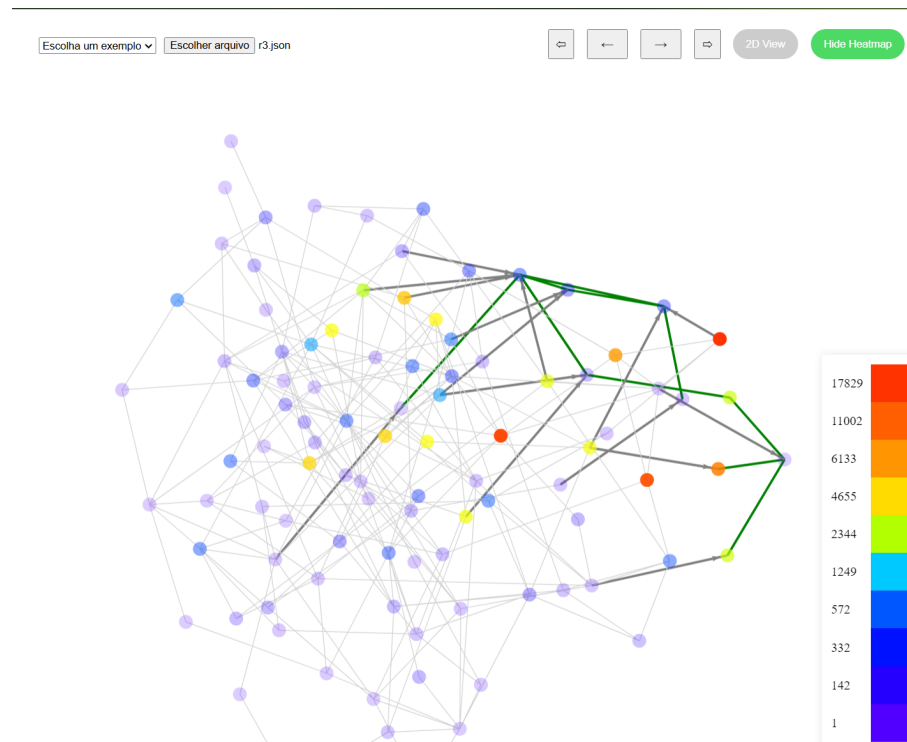


Figura 3.5: Mapa de calor do grafo



## 4 RESULTADOS E DISCUSSÃO

O algoritmo originalmente estudado e a versão com as melhorias propostas foram analisadas e submetidas a um conjunto de testes para melhor ilustrar o impacto e eficiência de cada uma. Visto que o problema continua sendo NP-completo, há pouco a ser feito para valores realmente grandes, mas foi possível sim observar uma ampliação dos valores considerados "razoáveis" pelo algoritmo FPT.

Para testar o algoritmo utilizamos a função da biblioteca `networkx` `nx.erdos_renyi_graph(v, e, seed)` onde  $v$  é o número de vértices e  $e$  é a probabilidade de 2 vértices formarem uma aresta, e `seed` é uma semente para geração do Grafo.

Para os testes a seguir foram fixados os seguintes parâmetros  $v=30$   $e=0.333$  e `seed=100` e executamos para  $k$  variando entre 1 e 29.

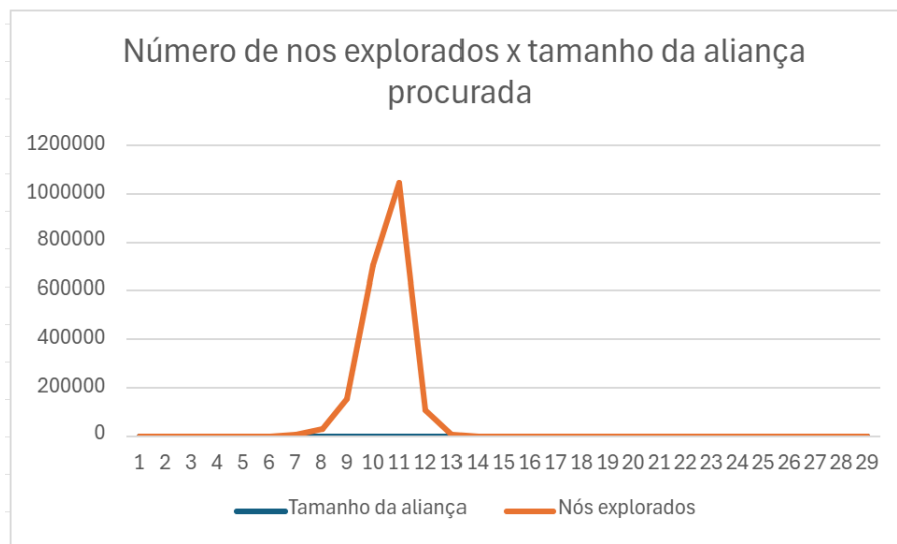


Figura 4.1: Execução do algoritmo **evitando** a repetição de conjuntos

Na execução do algoritmo sem repetição de conjuntos é possível notar que o número máximo de nós explorados foi de aproximadamente 1 milhão de nós.

Por sua vez, na execução que permite a repetição de conjuntos o número de nós explorados nesse caso saltou de 1 milhão para 100 milhões.

Salvar os conjuntos resulta em uma melhora significativa na redução do número de nós a serem explorados, porém nós traz um novo problema pois o espaço necessário para armazenar todos esses conjuntos no pior caso é  $\sum_{i=0}^k \binom{n}{i} < 2^n$ , ou seja, acabamos trocando um tempo exponencial, por espaço exponencial.

Foi observado um padrão interessante na eficiência com relação ao grau médio dos vértices do grafo  $d(G)$  e  $k$ ; o número de nós explorados atinge um ápice para valores de  $k$  próximos de  $d(G)$  criando uma "zona difícil", e suaviza a medida que a diferença aumenta.

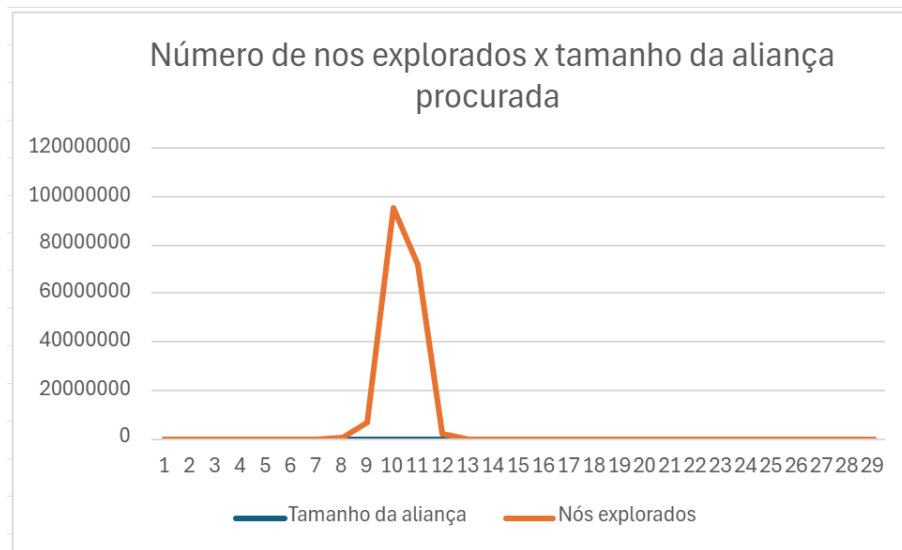


Figura 4.2: Execução do algoritmo **permitindo** a repetição de conjuntos

Para valores de  $d(G)$  muito maiores que  $k$  isso acontece porque o algoritmo pode descartar muitas combinações através do critério Se  $v.c_w \leq k - \text{tamanho de } S$ . Essa linha garante que o próximo nó a ser expandido ao menos tem as condições de ser protegido dado o tamanho atual de  $S$ .

Por outro lado, valores de  $k$  muito menores do que  $d(G)$ , foi observado uma probabilidade maior de haver uma aliança defensiva. A modificação de ordenação dos vértices de  $W$  com base em quantos vizinhos ele possui em  $S$  e  $\lfloor d(v)/2 \rfloor$ , em especial, mostrou acelerar muito o processo de determinação da aliança, quando existente. Isso se deve as escolhas priorizarem a defesa dos vértices já em  $S$ , em prol de adições aleatórias.

Por fim, a modificação de "Evitar repetir conjuntos" mostrou-se acelerar o processo tanto no melhor caso quanto no pior, pois garante que somente novas combinações são testadas.

## 5 CONCLUSÃO

O estudo como um todo foi bastante produtivo dentro do tema, e possibilitou compreensão significativa do que são e como encontrar alianças defensivas. O visualizador web, como ferramenta didática, foi bastante aproveitado para a compreensão e elaboração das melhorias propostas ao algoritmo.

Também foi produtivo experimentar na prática a complexidade de um problema NP-completo e uma das ferramentas usadas para contornar esse degrau gigantesco na complexidade.

Dentre os diversos temas que podem ser abordados em discussões futuras, destacamos a implementação e análise do algoritmo proposto por (Enciso, 2009) para encontrar Conjuntos Seguros (*Secure Sets*), que segue uma abordagem FPT semelhante ao de alianças defensivas, e pode ser adaptado para o visualizador web para gerar resultados valiosos.

Outro ponto de possível expansão é o de pré-análise de grafos para a determinação de potencial de uma aliança de tamanho  $k$ , partindo da análise feita sobre o grau médio e a "zona difícil".

## REFERÊNCIAS

- Bondy, J. e Murty, U. (2008). *Graph Theory*. Springer Publishing Company.
- Enciso, R. (2009). *Alliances In Graphs: Parameterized Algorithms And On Partitioning Series-parallel Graphs*. Tese de doutorado, University of Central Florida.
- Hassan-Shafique, K. (2004). *Partitioning A Graph In Alliances And Its Application To Data Clustering*. Tese de doutorado, University of Central Florida.
- Haynes, T., Knisley, D., Seier, E. e Zou, Y. (2006). A quantitative analysis of secondary rna structure using domination based parameters on trees. *BMC Bioinformatics*, 7(1):108.
- Kristiansen, P., Hedetniemi, S. M. e Hedetniemi, S. T. (2004). Alliances in graphs. *Journal of Combinatorial Mathematics and Combinatorial Computing*, 48:157–178.